

**О ВЫЧИСЛЕНИИ ПОПРАВКИ  
ЗА ВЕРТИКАЛЬНУЮ РЕФРАКЦИЮ  
ПОСРЕДСТВОМ ПОКАЗАТЕЛЯ ПРЕЛОМЛЕНИЯ  
И УРАВНЕНИЯ АППРОКСИМИРУЮЩЕЙ КРИВОЙ**

При выполнении геодезических измерений для более строгого учета и введения поправок за вертикальную рефракцию расчетным методом необходимо подобрать уравнение, которое бы математически наиболее правдоподобно описывало рефракционную кривую светового луча.

Такое уравнение можно получить, решая функционал [2]

$$I = \int n(x, y) \sqrt{1+y'^2} dx. \quad (1)$$

Здесь  $n(x, y)$  — показатель преломления как функция от  $x, y$ ;  $y'$  — первая производная рефракционной кривой по  $x$ .

Для решения (1) используем дифференциальное уравнение второго порядка Эйлера [1]

$$F_y' - F_{xy}' - F_{yy}' y' - F_{y'y'}' \cdot y'' = 0. \quad (2)$$

Раскроем производные в (2) и запишем их в виде

$$F_y' = \frac{\partial n}{\partial y} \sqrt{1+y'^2}; \quad (3) \quad F_{xy}' = \frac{\partial n}{\partial x} \frac{y'}{\sqrt{1+y'^2}}; \quad (4)$$

$$F_{yy}' = \frac{\partial n}{\partial y} \frac{y'}{\sqrt{1+y'^2}}; \quad (5) \quad F_{y'y'}' = \frac{n}{\sqrt{(1+y'^2)^3}}. \quad (6)$$

Обозначив  $\partial n / \partial x = q$ ,  $\partial n / \partial y = p$  и подставив (3) — (6) в (2), получим

$$p \sqrt{1+y'^2} - \frac{q y'}{\sqrt{1+y'^2}} - \frac{p y'^2}{\sqrt{1+y'^2}} - \frac{n y''}{\sqrt{(1+y'^2)^3}} = 0. \quad (6')$$

или после несложных преобразований будем иметь

$$n y'' + q y' - p y'^2 + q y'' = p. \quad (7)$$

Решение (7) связано с математическими трудностями, но задачу можно упростить, если учесть геометрию оптического луча в пространстве.

Известно, что

$$y' = \operatorname{tg} \delta, \quad (8)$$

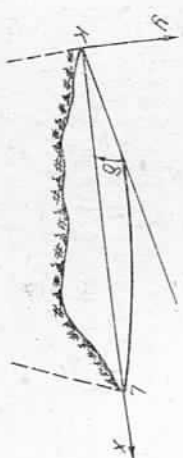
где  $\delta$  — угол между касательной к кривой и направлением визирного луча.

Если на рисунке за ось  $x$  принять направление линии визирования  $KL$ , а за ось  $y$  — линию, перпендикулярную оси  $x$  в точке

$K$ , которую считаем началом данной системы координат, то  $\delta$  будет поправкой за вертикальную рефракцию.

Положим, что  $\delta_{\max} = 10'$ , тогда  $y = 0,003$ . Соответственно получим  $y^2 = 3 \cdot 10^{-7}$  и  $y^4 = 3 \cdot 10^{-16}$ . Эти два члена вследствие их малости можно приравнять нулю, а (7) записать в упрощенном виде

$$n y'' + q y' = p. \quad (9)$$



Траектория светового луча.

Для решения (9) используем полином вида

$$y = \sum_{i=0}^m a_i x^i, \quad (10)$$

Вычислив из (10) первую и вторую производные и подставив их в (9), получим

$$n \sum_{i=0}^m i(i-1) a_i x^{i-2} + q \sum_{i=0}^m i a_i x^{i-1} = p. \quad (11)$$

Группируя члены (11) по степеням неизвестного  $x$ , запишем

$$\sum_{i=0}^m [i(i+1) a_{i+1} n + i a_i q] x^{i-1} = P. \quad (12)$$

Приравнивая коэффициенты при неизвестных левой и правой частях уравнения (12), получаем систему уравнений с коэффициентами  $a_1, a_2, a_3, \dots, a_m$ :

$$\begin{aligned} 2na_2 + qa_1 &= p, \\ 2 \cdot 3na_3 + 2qa_2 &= p, \\ \dots &\dots \end{aligned}$$

$$i(i+1)na_{i+1} + iqa_i = p. \quad (13)$$

Решая систему (13), найдем значения всех коэффициентов через  $a_1$ :

$$a_2 = \frac{p - qa_1}{2n},$$

$$a_3 = \frac{q(p - qa_1)}{2 \cdot 3n^2},$$

.....

$$a_i = (-1)^i \frac{q^{i-2}(\rho - qa_1)}{i! n^{i-1}}. \quad (14)$$

С учетом (14) уравнение (10) перепишем в виде

$$y = \sum_{l=2}^m (-1)^i \frac{q^{i-2}(\rho - qa_1)}{i! n^{i-1}} + a_0 + a_1 x. \quad (15)$$

Принимая во внимание условие, что рефракционная кривая проходит через точку наблюдения и точку визирования, расстояние между которыми  $l$ , уравнение (9) и (15) будем решать при граничных условиях:

$$x=0 \rightarrow y=0,$$

$$(16)$$

Учитывая (15) и (16), находим системы уравнений для вычисления коэффициентов  $a_0$  и  $a_1$ :

$$a_0 = 0,$$

$$a_1 l + \sum_{l=2}^m (-1)^i \frac{q^{i-2}(\rho - qa_1)}{i! n^{i-1}} = 0. \quad (17)$$

Группируя по  $a_1$  и сокращая на  $l$ , второе уравнение системы (17) перепишем в виде

$$a_1 \sum_{l=1}^m (-1)^{l-1} \frac{q^{l-1} l^{l-1}}{i! n^{l-1}} + p \sum_{l=1}^m (-1)^{l-1} \frac{q^{l-1} l^l}{(l+1)! n^l} = 0. \quad (18)$$

Откуда

$$a_1 = - \frac{p}{\sum_{l=1}^m (-1)^{l-1} \frac{q^{l-1} \cdot l^l}{i! n^{l-1}}}. \quad (19)$$

Сделав соответствующие преобразования, получим окончательное выражение для вычисления

$$a_1 = - \frac{pl}{2n} \left( 1 + \frac{ql}{6n} - \frac{q^3 l^3}{360n^3} - \frac{q^5 l^5}{45360n^5} - \dots \right). \quad (20)$$

Для вычисления остальных неизвестных коэффициентов  $a_i$  выражение в круглых скобках уравнения (20) обозначим через  $A$ . Тогда

$$a_i = (-1)^i \left[ \frac{\rho q^{i-2}}{i! n^{i-1}} - \frac{\rho q^{i-1} l}{2n^i i!} \cdot A \right]. \quad (21)$$

С учетом (20) и (21) уравнение (15) перепишем в виде

$$y = \sum_{l=1}^m (-1)^i p \left( \frac{q^{i-2}}{i! n^{i-1}} \frac{q^{i-1} l}{2il n^i} \cdot A \right) x_i. \quad (22)$$

Для оценки полученного решения и сохранения необходимого числа членов ряда примем  $n=1$ ,  $q_{\max} \approx \rho_{\max} \approx 10^{-7}$  1/M,  $l_{\max} = 3 \times 10^4$  м.

С учетом принятых значений, умножая второе слагаемое в круглой скобке (22) на  $A$ , при  $i=1$  находим, что третий член ряда

$$\frac{xpq^3 l^4}{2 \cdot 360n^4} = \frac{243 \cdot 10^{-28} \cdot 10^{20}}{720} = 0,3 \cdot 10^{-8},$$

при  $i=2$  второй член ряда

$$\frac{x^2 \rho q^2 l^2}{24 n^3} = \frac{10^{-21} \cdot 81 \cdot 10^{16}}{24} = 3,4 \cdot 10^{-5};$$

при  $i=3$  первый член ряда

$$\frac{x^3 \rho q^2 l}{12 n^3} = \frac{10^{-21} \cdot 81 \cdot 10^{16}}{12} = 6,7 \cdot 10^{-5}.$$

Отсюда с точностью до  $6,7 \cdot 10^{-5}$  формулу (22) можно записать в следующем виде:

$$y = - \frac{pl}{2} \left( 1 + \frac{ql}{6} \right) x + \frac{p}{2} \left( 1 + \frac{q^2 l^2}{12} \right) x^2 - \left[ \frac{pq}{6} \left( 1 + \frac{ql}{2} \right) \right] x^3. \quad (23)$$

Уравнение (23) описывает рефракционную кривую оптического луча, распространяющегося в реальной атмосфере между топками, отстоящими друг от друга на расстояние  $l$ .

В нем градиенты  $\rho$  и  $q$  в общем случае рассматриваются как функции от  $x$  и  $y$ . В частных случаях они могут быть постоянными или равными нулю.

С учетом сказанного, производная уравнения (23) будет иметь вид

$$y' = - \left[ \frac{pl}{2} \left( 1 + \frac{ql}{6} \right) \right]' x - \left[ \frac{p}{2} \left( 1 + \frac{q^2 l^2}{12} \right) \right]' x^2 + \\ + 2 \left[ \frac{p}{2} \left( 1 + \frac{q^2 l^2}{12} \right) \right] x - \left[ \frac{pq}{6} \left( 1 + \frac{ql}{2} \right) \right]' x^3 - 3 \left[ \frac{pq}{6} \left( 1 + \frac{ql}{2} \right) \right] x^2. \quad (24)$$

Для определения поправки за рефракцию предложенным методом необходимо вычислить значение (24) в точке наблюдения, учитывая при этом зависимость (8):

$$\delta'' = - \frac{\rho'' p_0 l}{2} \left( 1 + \frac{q_0 l}{6} \right), \quad (25)$$

где  $p_0, q_0$  — градиенты показателя преломления в точке наблюдения ( $x=0, y=0$ ).

Как видно из полученной формулы (25), поправка за вертикальную рефракцию зависит от длины визирного луга  $L$ , вертикального  $\rho$  и горизонтального  $q$  градиентов показателя преломления, вычисленных только в точке наблюдения.

**Список литературы:** 1. Зельнович Я. Б., Моликис А. Д. Элементы прикладной математики. — М.: Наука, 1967. 2. Смирнов В. И. Курс высшей математики. — М.: Наука, 1974, т. 4.

Статья поступила в редакцию 27.03.84

УДК 528.35

С. Н. ХОДОРОВ

## О ВЫБОРЕ КОЭФФИЦИЕНТА ОБЕСПЕЧЕНИЯ ТОЧНОСТИ ПРИ МНОГОРАЗРЯДНОМ ПОСТРОЕНИИ ГЕОДЕЗИЧЕСКОГО ОБОСНОВАНИЯ МЕТОДОМ ТРИАНГУЛЯЦИИ

На крупных строительных объектах, при застройке больших жилых массивов и строительстве некоторых уникальных сооружений геодезическое обоснование может создаваться многоразрядными построениями. Качество априорной оценки точности таких построений в значительной степени определяется правильным выбором коэффициента понижения, или обеспечения точности [1]. В научно-технической геодезической литературе приводятся различные значения этого коэффициента — от 1,2 до 8,0. Вероятностное обоснование этого коэффициента выполнено в [2, 3], однако в практике проектирования инженерно-геодезических сетей интервал принимаемых для него значений довольно велик. Поэтому в настоящей работе ставится цель экспериментального определения оптимального значения коэффициента обеспечения точности  $k$ .

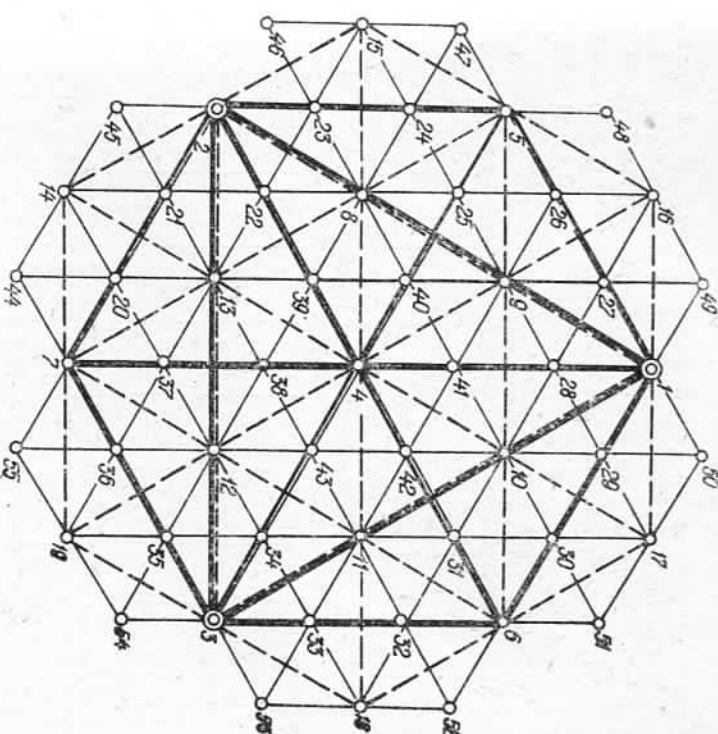
Для исследования составлена модель четырехразрядной сети, показанная на рисунке. Рассматривается многоразрядные построения представлены триангуляцией, в которой все треугольники защищированы равносторонними, длины их сторон соответственно по очередям построены измерения углов соответствующими квадратичными ошибками измерения угла, соответствующего построения согласно государственным инструкциям приняты разными  $2'', 5'', 10''$  применительно к триангуляции 4 класса, I и II разрядов и  $15''$  для съемочного обоснования. Исходными считаются пункты 1 и 2 с учетом близости их положения.

Оценка точности принятой модели четырехразрядной сети произведена с учетом строгого уравнивания на ЭВМ ЕС-1022 по следующей схеме:

оценка точности I разряда;  
совместная оценка точности сетей I и II разрядов;

совместная оценка точности сетей I, II и III разрядов;  
совместная оценка точности сетей I, II, III и IV разрядов.  
При этом для каждого последующего разряда учитываются исходных данных пунктов предыдущих разрядов. Оцененные величины находили с помощью больших и малых полусосей эллипса ошибок и средних квадратических ошибок линий и их направлений.

Если  $m_0$  — ошибки исходных пунктов 1 и 2, а  $\mu$  — средняя квадратическая ошибка единицы веса, отождествляемая со сред-



Модель четырехразрядной сети:  
— сеть I разряда; — сеть II разряда;  
---- сеть III разряда; - - - сеть IV разряда.

ней квадратической ошибкой измерения угла, соответствующего разряда, то корреляционная матрица примет вид

$$Q_0 = \frac{m_0^2}{\mu_1^2}. \quad (1)$$

С учетом (1) нормальная матрица

$$N_1 = N_0 + A_1^T A_1, \quad (2) \quad \text{где} \quad N_0 = Q_0^{-1}, \quad (3)$$

$$\text{Для I разряда сети} \quad Q_1 = N_1^{-1}; \quad (4) \quad K_1 = \mu_1 \sqrt{Q_1 G}, \quad (5) \quad V = \mu_1 G^T Q_1 G, \quad (6)$$